

พฤติกรรมทางวิสโคอลาสติก ของเยลลี่ลำไยโดยวัดแบบทราบเชนก์

Viscoelastic Behavior of Longan Jelly with Transient Measurement

อรุณี อภิชาติสร้างกุร
ศศิธร ลอเลิศลักษณา
Arunee Apichartsrangkoon Sasitorn Laolertlakana

หน่วยวิจัยผลิตภัณฑ์อาหารจากธรรมชาติ ภาควิชาวิทยาศาสตร์และเทคโนโลยีการอาหาร
คณะอุตสาหกรรมเกษตร มหาวิทยาลัยเชียงใหม่

ABSTRACT

In preparation of longan jelly, minced longan was blended with carrageenan and locustbean gum for setting gels. Mixture design was applied to the experiment by varying minced longan, mixed sugar, carrageenan and locustbean gum. Transient measurement i.e. creep test was performed with constant stress at 40 Pa. It was found that the creep model of longan jelly consisting four elements included a unit of Maxwell connected in series with a unit of Voigt-Kelvin. For creep parameters, an elastic modulus and viscosity increased with increasing levels of carrageenan and locustbean gum, but these were antagonistic with permanent deformation and retardation time.

Keyword : Viscoelastic, Creep, Longan Jelly

บทคัดย่อ

การผลิตเยลลี่ลำไยโดยผสมคาร์ราจีแนนและโลคัสต์บีนกัมในลำไยบดละเอียดเพื่อช่วยก่อเจล โดยใช้แผนการทดลองแบบส่วนผสม (mixture design) ซึ่งแบ่งผันส่วนผสมเป็นร้อยละของ เนื้อลำไย น้ำตาลผสม คาร์ราจีแนน และโลคัสต์บีนกัม จากการศึกษาพฤติกรรมทางวิสโคอลาสติก โดยทดสอบแบบทราบเชนก์ ได้แก่ การทดสอบการคีบ โดยใช้ความเค้นคงที่เป็น 40 Pa พบว่า

เยลลี่ลำไยมีแบบจำลองเป็น 4 องค์ประกอบ ซึ่งประกอบด้วยแบบจำลองโวค-เคลวิน 1 หน่วยต่ออนุกรมกับแบบจำลองแมกซ์เวลล์ 1 หน่วย โดยค่าอิลาสติกไมดูลัสและค่าความหนืดมีค่าเพิ่มขึ้นตามปริมาณคาร์ราจีแนนและโลคัสต์บีนกัมที่เพิ่มขึ้น ซึ่งมีค่าผกผันกับค่าการผิดรูปอย่างถาวร และเวลาหน่วง

คำนำ

ลำไยเป็นผลไม้เศรษฐกิจที่สำคัญของประเทศไทย โดยเฉพาะในเขตภาคเหนือตอนบน ในปัจจุบันประเทศไทยสามารถปลูกลำไยได้เกือบทั่วประเทศ และได้ผลผลิตตลอดทั้งปี เพราะมีการนำสารโพแทสเซียมคลอเรตมาใช้เพื่อเร่งการออกดอกออกผลตูก้าด เป็นเหตุให้เกิดภาวะผลิตผลลั่นตลาด ทำให้ราคาของผลผลิตตกต่ำเป็นอย่างมาก

ส่งผลกระทบต่อระบบเศรษฐกิจของประเทศไทยรวม ดังนั้น การแปรรูปลำไยเพื่อให้เกิดผลิตภัณฑ์ชนิดใหม่ เช่น เยลลี่ที่มีความหลากหลายเพิ่มมากขึ้น นอกจากจะช่วยขยายผลผลิตที่ล้นตลาดแล้ว ยังสามารถเพิ่มนูลค่าให้แก่ลำไยซึ่งมีราคาตกต่ำได้อีก

ในการผลิตเยลลี่สำเร็จ จะใช้ไฮโดรคออลลอยด์ (hydrocolloid) ซึ่งเป็นโพลีเมอร์ใหญ่ เพื่อเสริมโครงสร้างของเยลลี่ให้มีความเนียนยืดหยุ่น ไฮโดรคออลลอยด์ที่ใช้ในงานวิจัยนี้ เป็นการผสมผสานร่วมกันระหว่างคาร์บารีเจนกับโลคัสต์บีนกัม ซึ่งสารทั้งสองชนิดนี้ จัดอยู่ในกลุ่มฟังก์ชันอล ฟูดส์ (functional foods) เนื่องจากเป็นส่วนใหญ่อาหารชนิดที่อุ่มน้ำได้ดี (Pilnik and Rombouts, 1985) การใช้คาร์บารีเจน (carrageenan) ร่วมกับโลคัสต์บีนกัม (locustbean gum) สามารถดัดแปลงลักษณะของผลิตภัณฑ์ได้ตามความต้องการของผู้บริโภค คือ ตั้งแต่เจลเปราะ (brittle gel) จนถึงเจลเนียนยืดหยุ่น (elastic gel) อย่างไรก็ตาม ขึ้นกับอัตราส่วนระหว่างคาร์บารีเจนและโลคัสต์บีนกัมที่ใช้ นอกจากนี้ยังพบว่าการใช้คาร์บารีเจนร่วมกับโลคัสต์บีนกัม ในอัตราส่วนที่เหมาะสมจะช่วยลดปัญหาการแยกน้ำ (syneresis) ของคาร์บารีเจนได้ (Maier et al., 1993)

การใช้ส่วนผสมของไฮโดรคออลลอยด์ เพื่อปรับปรุงลักษณะเนื้อสัมผัสของอาหารนั้น จะต้องคำนึงถึงปัจจัยต่างๆ

อุปกรณ์และวิธีการ

วัสดุที่ใช้

1. แคปปา-คาร์บารีเจน (บริษัท ไทยฟูดส์แอนด์เคมี คอล)
2. โลคัสต์บีนกัม (บริษัท ไทยฟูดส์แอนด์เคมี คอล)
3. มอลโตเดเกซทริน (บริษัท เอส. ดับเบิลยู. เกรท จำกัด)
4. น้ำตาลทรายขาวบริสุทธิ์ (บริษัท น้ำตาลทรายมิตรผล จำกัด)
5. ลำไยสดพันธุ์ดอก (ตลาดดอนดี อ.เมือง จ.ลำพูน)

เครื่องมือ

เครื่องวิเคราะห์ความต้านทานต่อแรงดึงดูด (Rheometer, TA Instruments : AR2000, USA)

การศึกษาสมบัติทางวิสโคอิเลสติกของเยลลี่สำเร็จ

1. ผลิตเยลลี่สำเร็จ โดยบีบเนื้อเยลลี่สำเร็จด้วยเครื่องผสมอาหารความเร็วสูง 2 นาที ผสมน้ำตาลทราย มอลโตเดเกซทริน คาร์บารีเจน และโลคัสต์บีนกัมเข้าด้วยกัน เพื่อป้องกันการจับตัวกันเป็นก้อน จากนั้นนำไปปั่นรวมอีกครั้งกับเนื้อ

ที่มีผลต่อการก่อเจลและความเนียนยาน เนื่องจากมีความสำคัญต่อลักษณะเนื้อสัมผัสที่ผู้บริโภคยอมรับได้ วิธีที่นิยมใช้ประเมินคุณสมบัติทางกายภาพของเจล โดยไม่กระทบต่อโครงสร้างโมเลกุล ได้แก่ การวิเคราะห์ทางวิสโคอิเลสติก เจลทั่วไปจะประกอบด้วยคุณสมบัติขั้นหนึ่ด (viscoelastic) และคุณสมบัติยืดหยุ่น (elastic) ซึ่งรวมเรียกว่าวิสโคอิเลสติก การวัดคุณสมบัตินี้ วิธีที่นิยมได้แก่การคีบ (creep) และการพักความเค้น (stress relaxation) การศึกษาสมบัติทางวิสโคอิเลสติก (viscoelastic) โดยมากจะอธิบายในเชิงแบบจำลองทางวิสโคอิเลสติก (viscoelastic model) ซึ่งสามารถบ่งบอกถึงพฤติกรรมเชิงกล (mechanical behaviors) ของวัสดุนั้น (อรุณีและอุทัยวรรณ, 2546; อุทัยวรรณและอรุณี, 2546 ; Supavititpatana and Apichartsrangkoon, 2007)

ดังนั้นงานวิจัยนี้ จึงมุ่งเน้นศึกษาสมบัติทางวิสโคอิเลสติก พร้อมทั้งหาแบบจำลองทางคณิตศาสตร์ที่เหมาะสมของเยลลี่สำเร็จที่เกิดจากการใช้ไฮโดรคออลลอยด์สองชนิดร่วมกันคือ คาร์บารีเจน และโลคัสต์บีนกัม

สำหรับเยลลี่ที่บีบแล้วใช้เวลาบีบประมาณ 1 นาที นำส่วนผสมที่ได้ไปต้มพร้อมคนตลอดเวลา จนส่วนผสมมีอุณหภูมิ 85 องศาเซลเซียส เทลงพิมพ์ที่เตรียมไว้ พยายามอย่าให้มีฟองอากาศ ทิ้งไว้ที่อุณหภูมิห้องประมาณ 30 นาที จนเยลลี่แข็งตัว แกะเบลลี่ออกจากพิมพ์ ตัดให้ได้ขนาด $3 \times 3 \times 1.5$ เซนติเมตร จัดวางเยลลี่ลงในถาดอลูมิเนียม ให้มีระยะห่างระหว่างชิ้นเล็กน้อย นำไปอบที่อุณหภูมิ 45 องศาเซลเซียส ใช้เวลาอบ 20 ชั่วโมง (จนเยลลี่มีปริมาณความชื้นต่ำกว่าร้อยละ 30 หรือ มีค่าของเตอร์เอดกิวตี้อยู่ในช่วง 0.75-0.80) การผันแปรสูตรของเยลลี่สำเร็จโดยใช้แผนการทดลองแบบส่วนผสม (mixture design) ประกอบด้วย 4 ปัจจัยคือ เนื้อเยลลี่ร้อยละ 60-80 น้ำตาลทราย (น้ำตาลทราย : มอลโตเดเกซทริน = 2 : 1) ร้อยละ 15-30 แคปปา-คาร์บารีเจนร้อยละ 0.25-1 และโลคัสต์บีนกัมร้อยละ 0.25-1 โดยใช้โปรแกรมคณิตศาสตร์ช่วยในการกำหนดสูตร ดัง Table 1

Table 1. Longan jelly recipe

Treatment	Longan (%)	Sucrose:Maltodextrin=2:1 (%)	\bullet -Carrageenan (%)	Locustbean gum (%)
1	84.50	15.00	0.25	0.25
2	83.75	15.00	1.00	0.25
3	76.63	22.50	0.63	0.25
4	75.88	22.50	1.00	0.62
5	72.69	26.25	0.63	0.44
6	79.81	18.75	0.81	0.63
7	68.00	30.00	1.00	1.00
8	83.00	15.00	1.00	1.00
9	83.75	15.00	0.63	0.63
10	76.25	22.50	0.25	1.00
11	68.75	30.00	1.00	0.25
12	69.50	30.00	0.25	0.25

2. วิธีการวัดสมบัติทางวิสโคอิลาสติก

2.1 เตรียมตัวอย่างเยลลี่ลำไย โดยตัดให้มีขนาดเส้นผ่านศูนย์กลาง 25 มิลลิเมตร จากนั้นใช้ใบมีดเฉือนตัวอย่างให้ได้ความสูง 3 มิลลิเมตร ทราบบ่าๆ ตัวอย่าง ด้วยซิลิโคนอยล์ (silicone oil) เล็กน้อยเพื่อป้องกัน ตัวอย่างแห้งในระหว่างวัด

2.2. หาค่าความเด่นที่ไม่ทำให้โครงสร้างของตัวอย่างเสียหาย โดยวิธี stress sweep โดยนำตัวอย่างเยลลี่ที่มีลักษณะแข็งสุดได้แก่ treatment 7 และอ่อนสุดได้แก่ treatment 12 ที่ได้จากการทดลองเบื้องต้น ทำการทดสอบหาค่าความเด่นที่เหมาะสม ดัง Figure 1. จะเห็นว่าความเด่นที่เหมาะสมอยู่ที่ 40 Pa

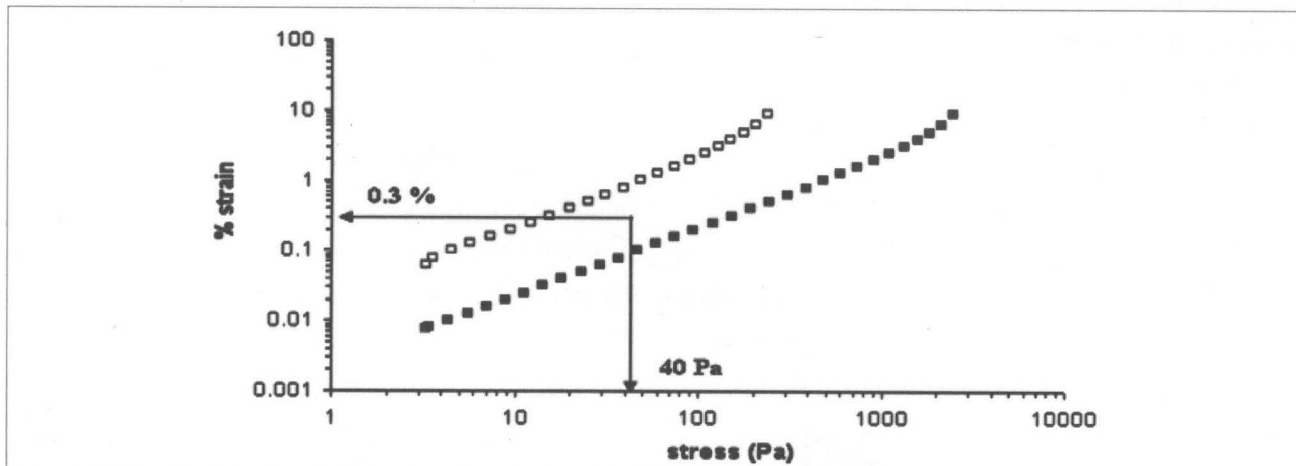


Figure 1. Stress amplitude sweep of longan jelly, (●) treatment 7, (○) treatment 12

2.3. ทดสอบการคีบ นำตัวอย่างที่เตรียมได้ทดสอบการคีบโดยกำหนดค่าความเด่นคงที่ 40 Pa ใช้เวลาในการทดสอบ creep 5 นาที หลังจากนั้น ถอนแรงแล้วทดสอบ recovery อีก 15 นาที ทำการทดลอง 6 ชั้้า พิจารณากราฟที่แสดงความสัมพันธ์ระหว่างค่า compliance (J) และเวลาจากนั้นทำการหาแบบจำลองทางคณิตศาสตร์ที่เหมาะสม

พร้อมทั้งศึกษาสมบัติ ทางวิสโคอิลาสติกของเยลลี่ลำไย โดยพิจารณาจากค่าตัวแปรทางวิสโคอิลาสติก เช่น ค่าอิลาสติกโมดูลัส (E_0) ค่าความหนืด (μ) การผิดรูปอย่างถาวร (compliance permanent deformation : J_{pd}) และเวลาหน่วง (retardation time : \bullet ret)

ผลและวิจารณ์

ลำไยที่ใช้ในงานวิจัยนี้ มีส่วนประกอบทางเคมีคือ ปริมาณความชื้น(Moisture content) ร้อยละ 84.92 ปริมาณน้ำอิสระ (a_w) 0.97 ค่าความเป็นกรด-ด่าง (pH) 7.17 ปริมาณของแข็งที่ละลายได้ทั้งหมด (Total soluble solid) 17.5 องศาบริกก์

จากการทดสอบการคีบของเยลลี่ลำไยทั้ง 12 สิ่งทดลองพบว่า เยลลี่ลำไยทุกสิ่งทดลองมีลักษณะกราฟคล้ายคลึงกัน ดัง Figure 2 กราฟการคีบแบ่งได้เป็น 3 ช่วง คือช่วงที่ 1 เป็นช่วงที่ compliance J_0 เกิดการเปลี่ยนแปลงทันทีทันใด (instantaneous compliance) โดยที่เวลาไม่เปลี่ยน ซึ่งเกิดเนื่องจากเยลลี่ลำไยมีสมบัติที่เป็นของแข็งยืดหยุ่น (elastic) เช่นเดียวกับสปริง (spring) เมื่อออกแรงดึง (โดยแรงนั้นไม่ทำให้สปริงเสียสภาพ) สปริงเกิดการยืดตัวออกทันทีทันใด แต่เมื่อปล่อยแรงดึงสปริงจะหดกลับสู่สภาพเดิมทันที ดังนั้นสปริงจึงเป็นสัญลักษณ์ที่ใช้แทนแบบจำลองส่วนนี้ โดยค่า compliance J_0 สามารถพิจารณาได้ในรูปของ อิลาสติกโมดูลัส (elastic modulus; E₀) ซึ่งเป็นส่วนกลับของค่า J_0 โดยเป็นพลังงานสะสมในวัสดุที่เป็นของแข็งยืดหยุ่นและ สามารถใช้พลังงานนั้นในการกลับคืนสู่สภาพเดิม (Ward and Hadley, 1995) ในช่วงนี้ถ้าถอนแรงออก เยลลี่ลำไยจะสามารถคืนสู่สภาพเดิมได้ เนื่องจากความคืนที่ให้มากพอที่จะทำให้พันธะในเยลลี่ลำไยเกิดการเปลี่ยนแปลง โดยคาดว่าพันธะที่เกิดขึ้นในเยลลี่ลำไยเป็นพันธะที่ไม่ใช่พันธะโควาเลนท์ (non-colavent bond) อาจเป็นแรงยึดเหนี่ยวซึ่งเกิดระหว่างคาร์บารี่เจนและโลคัสต์บีนกัม โดยการก่อพันธะที่มากขึ้น ทำให้เจลมีความคงตัวและแข็งแรงมากขึ้น (Bayarri et al., 2004)

ช่วงที่ 2 เป็นช่วงที่ compliance เปลี่ยนแปลงตามเวลา จากกราฟที่ได้พบว่าช่วงนี้ประกอบด้วยแบบจำลองโวค-เคลวิน 1 หน่วย โดยแบบจำลองโวค-เคลวินมีสปริงต่อขนานกับลูกศูน ซึ่งลูกศูน (dashpot) เป็นสัญลักษณ์ที่ใช้

แทนของเหลวที่ไม่ขึ้นกับเวลาหรือการเปลี่ยนรูปอย่างถาวร ดังนั้นในช่วงนี้จึงมีสมบัติที่เป็นทั้งของแข็งยืดหยุ่น และของเหลวนิด โดยการเปลี่ยนรูปจะเกิดขึ้นอย่างช้าๆ และเกิดเวลาหน่วง (retardation time) เนื่องจากเมื่อให้ความคืนคงที่ค่าหนึ่งจะทำกับตัวอย่างสปริงจะเกิดการเปลี่ยนแปลงทันที แต่ลูกศูนอย่างๆ เกิดการเปลี่ยนแปลงจึงทำให้เกิดเวลาหน่วงในส่วนของโครงสร้างเยลลี่ลำไยในช่วงนี้จะเกิดการเปลี่ยนแปลงของพันธะบางส่วน ดังนั้นสมบัติความยืดหยุ่นของเยลลี่ลำไยจะลดลง

ช่วงที่ 3 เป็นช่วงที่ compliance ไม่สามารถคืนรูปได้ จึงแสดงสมบัติของไข่เหลว โดยเมื่อมีความคืนคงที่ค่าหนึ่งมากจะทำให้เกิดการไหลขึ้น เนื่องจากสมบัติของไข่เหลวไม่มีความสามารถในการเก็บสะสมพลังงานเหมือนของแข็ง จึงทำให้พลังงานสูญหายไปในช่วงที่ 3 นี้ จะพิจารณาการไหลของวัสดุโดยพิจารณาจากค่าความหนืด ซึ่งเป็นส่วนกลับของค่าความชัน (slope) โดยถ้าวัสดุนั้นมีความหนืดมาก นั่นคือความชันของเส้นกราฟจะน้อย ดังนั้นการเปลี่ยนแปลงของค่าความเครียด (strain) จึงน้อยหมายถึงการมีสมบัติของแข็งที่มากขึ้นและส่งผลให้การไหลเกิดขึ้นน้อย

ในส่วนของการคืนรูป (recovery) พบร่วมกันก่อน แรงคีนีน บางส่วนเกิดการคืนรูป ขณะที่บางส่วนเกิดการผิดรูปอย่างถาวร เยลลี่ลำไยไม่สามารถคืนรูปได้หมดเนื่องจากลักษณะของวัสดุวิสโคอิลาสติกที่มีการยืดหยุ่น โดยมีการคืนรูปตามเวลาเมื่อมีสมบัติของแข็ง แต่จะไม่กลับไปสู่สภาพเริ่มต้นเนื่องจากมีลักษณะของของเหลวที่เกิดการไหล (มนัส, 2538) ในที่นี้พิจารณาการคืนรูปจากค่า compliance (J) ที่เกิดการเปลี่ยนรูปอย่างถาวร (permanent deformation ; J_{pd}) ซึ่งพิจารณาจากค่า J_{pd} วินาทีที่ 1200 เนื่องจากเป็นจุดสุดท้ายของการทดสอบในส่วนโครงสร้างของเยลลี่ลำไยจะเกิดการสลายของพันธะเป็นบางส่วนจากการที่มีสมบัติการไหล

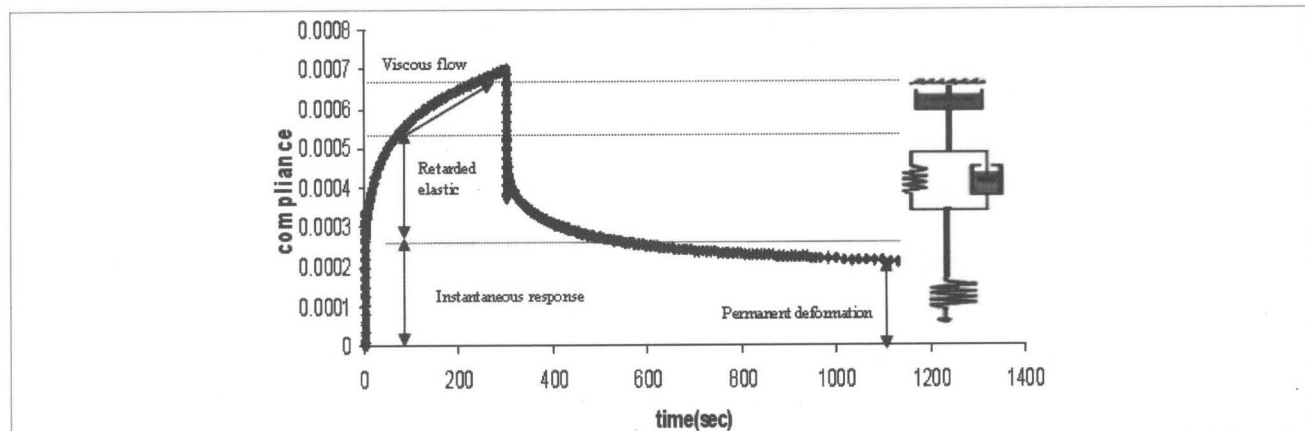


Figure 2. Creep curve fitted with 4-elements model

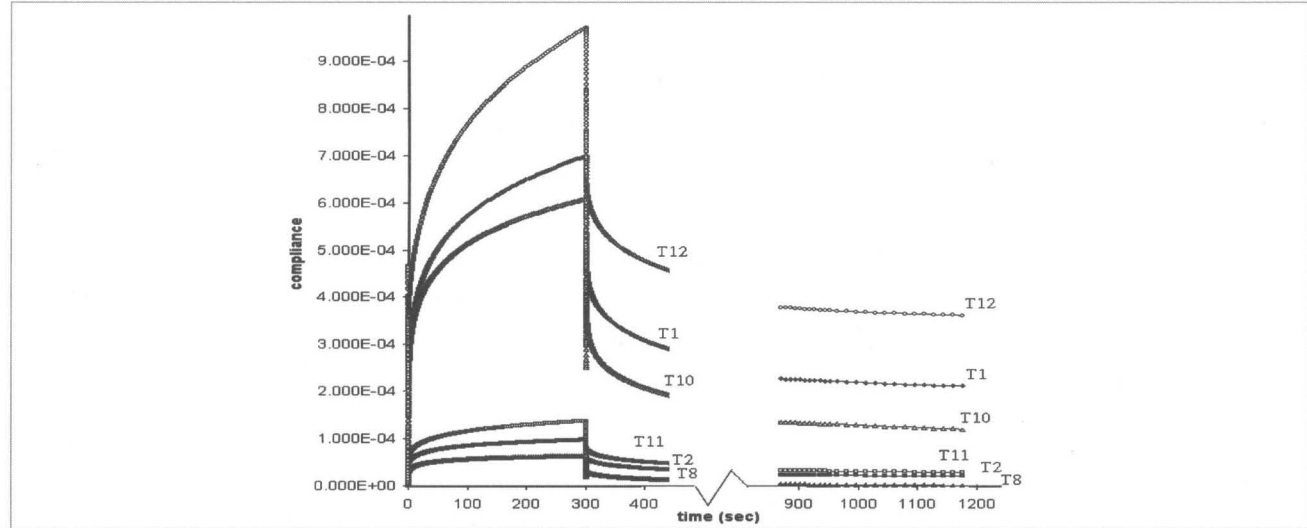


Figure 3. Creep compliance curve versus time of longan jelly, ◊ treatment 12, ◆ treatment 1, △ treatment 10, □ treatment 11, ■ treatment 2, ▲ treatment 8

จาก Figure 3 แสดงกราฟการคีบของเยลลี่ลำไย สิ่งทดลองที่ 1, 2, 8, 10, 11 และ 12 ตามลำดับ เท่านั้น เนื่องจากกราฟการคีบของสิ่งทดลองอื่นๆ มีลักษณะที่คล้ายกันและกราฟบางเส้นเกิดการข้อนทับกันทำให้เห็นภาพไม่ชัดเจน จึงยกตัวอย่างกราฟเพียง 6 เส้นดังกล่าว

เมื่อแทนค่าตัวแปรในสมการแบบจำลอง แล้ว plot กราฟ compliance (J) เปรียบเทียบกับกราฟที่ได้จากการทดลองจริง พบร่วมแบบจำลอง 4 องค์ประกอบ ซึ่งประกอบด้วยแบบจำลองแมกซ์เวลล์ 1 หน่วย และแบบจำลองโวค-เคลวิน 1 หน่วยมีความเหมาะสมที่สุด เนื่องจากกราฟการคีบ ที่ได้จากการทดลองจริงและจากสมการแบบจำลองมีรูปแบบที่สอดคล้องกันพอดี โดยพบว่าเยลลี่ลำไย

ทั้ง 12 สิ่งทดลองมีแบบจำลองในรูปแบบเดียวกันจากแบบจำลองที่ได้สามารถอธิบายคุณสมบัติวิสโคอิเลสติกของตัวอย่างเยลลี่ลำไยทุกสิ่งทดลอง (Chatpong and Apichartsrangkoon, 2007) และสามารถหาค่าตัวแปรของแบบจำลอง (viscoelastic parameter) ดังนี้ compliance J_0 หรืออิเลสติกโมดูลัส (elastic modulus ; E_0) แทนสมบัติอิเลสติกหรือความเป็นของแข็งยืดหยุ่น ในที่นี้จึงใช้ค่า E_0 ในกราฟการคีบเพื่อให้เข้าใจได้ง่ายและใช้ค่าความหนืด (viscosity ; μ) ในการอธิบายสมบัติการไหล (flow) ซึ่งเป็นสมบัติของของเหลวของวัสดุ โดยค่าความหนืดพิจารณาได้จากส่วนกลับของค่าความชันของกราฟการคีบและพิจารณาคุณภาพรวมการผิดรูปของวัสดุจากค่า J_{pd} ดัง Table 2.

Table 2. Creep parameters of longan jelly from 12 treatments condition

Treatment	E_0 (kPa)	J_{pd} (μ Pa $^{-1}$)	μ (Pa.s) $\times 10^6$	\bullet ret (s)
1	$3.07^h \pm 0.04$	$211.50^d \pm 9.10$	$1.95^h \pm 0.05$	$48.22^g \pm 0.48$
2	$16.73^e \pm 0.45$	$22.20^a \pm 6.39$	$17.65^c \pm 0.37$	$43.75^{de} \pm 0.88$
3	$9.62^g \pm 0.42$	$71.98^b \pm 9.41$	$6.17^f \pm 0.09$	$44.33^e \pm 0.14$
4	$21.54^c \pm 0.76$	$19.52^a \pm 2.71$	$17.85^c \pm 0.39$	$42.83^c \pm 0.52$
5	$8.52^g \pm 0.24$	$72.06^b \pm 7.73$	$6.03^f \pm 0.08$	$44.33^e \pm 0.68$
6	$18.54^d \pm 0.76$	$21.60^a \pm 2.55$	$17.68^c \pm 0.17$	$43.67^d \pm 0.68$
7	$24.98^b \pm 3.10$	$8.16^a \pm 2.58$	$26.33^b \pm 0.47$	$41.92^b \pm 0.37$
8	$26.90^a \pm 1.03$	$0.75^a \pm 0.15$	$38.97^a \pm 0.48$	$41.13^a \pm 0.23$
9	$13.44^f \pm 0.94$	$32.08^a \pm 9.34$	$10.63^e \pm 0.16$	$44.25^{de} \pm 0.16$
10	$3.14^h \pm 0.12$	$125.82^c \pm 27.92$	$2.76^g \pm 0.07$	$45.37^f \pm 0.38$
11	$13.71^f \pm 0.51$	$28.43^a \pm 1.12$	$11.24^d \pm 0.18$	$43.86^{de} \pm 0.44$
12	$2.45^h \pm 0.06$	$359.16^e \pm 87.86$	$1.27^i \pm 0.04$	$49.16^h \pm 0.23$

Note : Data in each column with the same superscript letter were not significantly different ($p > 0.05$) by DMRT

E_0 : elastic modulus
 μ : viscosity

J_{pd} : compliance permanent deformation
 \bullet ret : retardation time

จาก Table 2 แสดงค่าตัวแปรทางวิศวเคมีสติกสำหรับการทดสอบการคีบ โดยค่า E_0 หรือ elastic modulus หาได้จากการทดสอบพบว่า สิ่งทดลองที่มีค่า E_0 มากที่สุดจนถึงน้อยที่สุดคือ สิ่งทดลองที่ 8, 7, 4, 6, 2, 11, 9, 3, 5, 10, 1 และ 12 ตามลำดับ สิ่งทดลองที่

8 มีค่า E_0 เท่ากับ 26.90 ± 1.03 kPa ขณะที่ สิ่งทดลองที่ 12 มีค่า E_0 เท่ากับ 2.45 ± 0.06 kPa แสดงว่า สิ่งทดลองที่ 8 มีความยืดหยุ่นสูงสุดในขณะที่สิ่งทดลองที่ 12 มีความยืดหยุ่นต่ำสุด

Table 3 Regression equation of creep parameters

Regression equation			r^2
1	$E_0 = -0.101X_2 + 14.462X_3 - 1.422X_4 + 15.622X_3 X_4$		0.997
2	$J_{pd} = 2.210X_1 + 6.048X_2 - 247.323X_3 - 90.409X_4$		0.786
3	$\mu = -0.5X_2 + 23.702X_3 + 14.057X_4$		0.936
4	$\bullet_{ret} = 0.495X_1 + 0.523X_2 - 5.285X_3 - 2.492X_4$		1.000

Note : X_1 = Longan X_2 = Mixed sugar
 X_3 = •-Carageenan X_4 = Locustbean gum

เมื่อนำข้อมูลที่ได้ไปทดสอบการความสัมพันธ์ระหว่างค่า E_0 และปัจจัยต่างๆ ที่ทำการศึกษาได้สมการแสดงความสัมพันธ์ดังสมการ (1) ใน Table 3 โดยพบว่า ปัจจัยที่มีผลต่อค่า E_0 ได้แก่ น้ำตาลผสม คาร์ราจีแนน โลคสต์บีนกัมและคาร์ราจี แนะนำร่วมกับโลคสต์บีนกัมโดยปริมาณคาร์ราจีแนนที่เพิ่มขึ้นส่งผลให้ค่า E_0 มีค่ามากขึ้น ขณะที่ปริมาณน้ำตาล ผสมและโลคสต์บีนกัมที่เพิ่มขึ้น ส่งผลให้ค่า E_0 มีค่าลดลง นอกจากนี้ ยังพบว่าการใช้ คาร์ราจีแนน ร่วมกับโลคสต์บีนกัม ทำให้ค่า E_0 มีค่าเพิ่มขึ้น เช่นกัน เมื่อเปรียบเทียบสิ่งทดลองที่ 7 และ 8 ซึ่งมีเพียงปริมาณน้ำตาลผสมเท่านั้นที่แตกต่างกัน โดยสิ่งทดลองที่ 7 มีปริมาณน้ำตาลผสมร้อยละ 30 สิ่งทดลองที่ 8 มีปริมาณน้ำตาลผสมร้อยละ 15 พบร่วมค่า E_0 ของสิ่งทดลองที่ 8 มากกว่า ค่า E_0 ของสิ่งทดลองที่ 7 อย่างมีนัยสำคัญทางสถิติ ($p \leq 0.05$) แสดงให้เห็นว่าปริมาณน้ำตาลที่มากขึ้นมีผลให้ค่า E_0 มีค่าลดลง (Fiszman and Duran, 1992) ซึ่งสอดคล้องกับสมการ (1) ทั้งนี้อาจเกิดจากปริมาณน้ำตาลที่มากเกินไป รวมตัวกับน้ำสิ่งผลให้มีน้ำไม่เพียงพอที่จะใช้ในการก่อเจลของไฮดรอกอลลอยด์ทั้งสองชนิด จึงทำให้ได้เจลที่อ่อนลง (Whittaker et al., 1997)

เช่นเดียวกับสิ่งทดลองที่ 1 เปรียบเทียบกับสิ่งทดลองที่ 12 และสิ่งทดลองที่ 2 เปรียบเทียบกับสิ่งทดลองที่ 11 ซึ่งให้ผลเช่นเดียวกันกล่าวคือ ปริมาณน้ำตาลที่เพิ่มขึ้นมีผลให้ความยืดหยุ่นของเจลลดลง และเมื่อพิจารณาถึง คาร์ราจีแนนจะพบว่า สิ่งทดลองที่ประกอบด้วยคาร์ราจีแนน

ในปริมาณมากมีผลให้ค่า E_0 มีค่ามาก ซึ่งคาร์ราจีแนนจัดเป็นสารก่อเจลที่ให้เจลมีลักษณะแข็ง โดยความเข้มข้นที่เหมาะสมที่นิยมใช้จะอยู่ในช่วง 0.50-2.00 (อรอนงค์, 2545) และพบว่าอัตราส่วนระหว่างคาร์ราจีแนนและโลคสต์บีนกัมมีผลต่อค่า E_0 ด้วย ทั้งนี้หากให้คาร์ราจีแนนมีอัตราส่วนมากกว่าโลคสต์บีนกัมจะทำให้ได้เจลที่มีลักษณะแข็งและมีความยืดหยุ่นดังเช่นสิ่งทดลองที่ 2 และ 4 แต่หากให้โลคสต์บีนกัมมีอัตราส่วนมากกว่า คาร์ราจีแนนจะทำให้ได้เจลที่มีลักษณะอ่อนนุ่มแต่มีความยืดหยุ่นสูง ดังเช่นสิ่งทดลองที่ 10 และหากให้อัตราส่วนระหว่างคาร์ราจีแนนกับโลคสต์บีนกัมเป็น 2:1 จะทำให้เกิดความหนึ่งของเจล (gel strength) สูงสุดและที่อัตราส่วนระหว่างคาร์ราจีแนนกับโลคสต์บีนกัมเป็น 1:4 จะทำให้เกิดการแยกน้ำ (syneresis) น้อยที่สุด (สุวรรณ, 2543)

สำหรับค่า J_{pd} ซึ่งเป็นค่าที่บ่งบอกถึงพฤติกรรมการผิดรูปของวัสดุ โดยวัสดุใดมีค่า J_{pd} มากนั่นหมายถึง วัสดุนั้นจะเกิดการผิดรูปมากเมื่อมีแรงกระทำหากวัสดุใดมีค่า J_{pd} น้อย นั่นหมายถึงเกิดการผิดรูปน้อย ซึ่งแสดงว่ามีความคงตัวต่อความเดินหรือแรงที่มากระทำ โดยดูได้จากส่วน recovery ของกราฟการคีบ ซึ่งค่า J_{pd} จะเป็นค่าที่ผกผันกับค่า E_0 โดยวัสดุใดมีค่า E_0 มากจะมีค่า J_{pd} น้อย นั่นแสดงว่าวัสดุมีความยืดหยุ่นมากหรือมีการผิดรูปน้อย จากการทดสอบพบว่า ทุกสิ่งทดลองมีค่า J_{pd} ที่แตกต่างกันอย่างมีนัยสำคัญทางสถิติ ($p \leq 0.05$) โดยสิ่งทดลองที่มีค่า J_{pd} มากสุดจนถึงน้อยที่สุดคือ สิ่งทดลองที่ 12, 1, 10, 5,

3, 9, 11, 2, 6, 4, 7 และ 8 โดยสิ่งทดลองที่ 12 มีค่า J_{pd} เท่ากับ $359.16 \pm 87.86 \text{ MPa}^{-1}$ ขณะที่สิ่งทดลองที่ 8 มีค่า J_{pd} เท่ากับ $0.75 \pm 0.15 \text{ MPa}^{-1}$ นั่นคือสิ่งทดลองที่ 12 เป็นเยลลี่ลำไยที่มีลักษณะเจลที่มีความคงตัวน้อย จึงมีค่าการผิดรูปถาวรมาก สาเหตุอาจเป็นเพราะปริมาณน้ำตาลผสมที่มากเกินหรือปริมาณคาร์บาราจีแนนและโลคส์ต์บีนกัมที่น้อยเกิน จึงส่งผลให้เกิดเจลอย่างไม่สมบูรณ์ เจลที่ได้จึงค่อนข้างอ่อน สำหรับสิ่งทดลองที่ 8 สาเหตุที่มีความคงตัวสูงสุด อาจเป็นเพราะอัตราส่วนและปริมาณของคาร์บาราจีแนนและโลคส์ต์บีนกัมที่มากพอก รวมถึงปริมาณน้ำตาลผสมที่มีความหมายสูงจึงเกิดโครงสร้างตัวข่ายอย่างแข็งแรงและเมื่อนำค่า J_{pd} ในทุกสิ่งทดลองไปหาสมการเพื่อแสดงความสัมพันธ์ระหว่างค่า J_{pd} ที่ได้กับปัจจัยต่างๆ ที่ทำการศึกษาได้สมการแสดงความสัมพันธ์ ดังสมการ (2) ใน Table 3 พบว่า ปัจจัยที่มีผลต่อค่า J_{pd} ได้แก่ เนื้อลำไย น้ำตาลผสม คาร์บาราจีแนน และโลคส์ต์บีนกัม โดยปริมาณเนื้อลำไยและปริมาณน้ำตาลผสมที่เพิ่มขึ้นส่งผลให้ค่า J_{pd} มีค่ามากขึ้น ในทางตรงข้าม ปริมาณคาร์บาราจีแนนและโลคส์ต์บีนกัมมีอิทธิพลต่อค่า J_{pd} มากกว่าเนื้อลำไยและน้ำตาลผสมดูได้จากสัมประสิทธิ์หน้าตัวแปร

ค่า μ หรือค่าความหนืด (viscosity) ใช้อธิบายสมบัติการไหล โดยถ้าวัสดุใดมีความหนืดมากนั่นคือ มีความสามารถในการต้านการไหลได้มากเมื่อมีแรงกระทำแสดงว่าวัสดุนั้นมีสมบัติความเป็นของแข็งมากขึ้น จึงส่งผลให้การไหลเกิดขึ้นได้น้อย (Jackman and Stanley, 1995) จากการทดลองพบว่า สิ่งทดลองที่มีค่า μ มากที่สุดจนถึงน้อยที่สุดคือ สิ่งทดลองที่ 8, 7, 4, 6, 2, 11, 9, 3, 5,

10, 1 และ 12 ตามลำดับ สิ่งทดลองที่ 8 μ มีค่า เท่ากับ $38.97 \times 10^6 \text{ Pa.s}$ สิ่งทดลองที่ 12 มีค่า เท่ากับ $1.27 \times 10^6 \text{ Pa.s}$ เมื่อนำข้อมูลที่ได้ไปหาสมการความสัมพันธ์ระหว่างค่า μ และปัจจัยต่างๆ ที่ทำการศึกษาได้สมการแสดงความสัมพันธ์ ดังสมการ(3) ใน Table 3 พบว่าปัจจัยที่มีผลต่อค่า μ ได้แก่ น้ำตาลผสม คาร์บาราจีแนน และโลคส์ต์บีนกัมโดยปริมาณคาร์บาราจีแนนและโลคส์ต์บีนกัมที่เพิ่มขึ้นส่งผลให้ค่า μ มีค่ามากขึ้น ส่วนปริมาณน้ำตาลผสมที่เพิ่มขึ้นส่งผลให้ค่า μ มีค่าลดลง

ค่า $\bullet ret$ หรือเวลาที่ใช้ในการหน่วง (retardation time) ซึ่ง $\bullet ret = \mu / E$ โดย μ แทนสมบัติการเป็นของไหล หนึ่ด ส่วน E แทนสมบัติการเป็นของแข็งยึดหยุ่น โดยจะเห็นว่าเวลาที่ใช้ในการหน่วง มีความสัมพันธ์ในเชิงผกผันกับความยึดหยุ่น (Ojijo et al., 2004) จากการทดลองพบว่าทุกสิ่งทดลองมีค่า $\bullet ret$ ใกล้เคียงกันคืออยู่ในช่วง 41.13- 49.16 โดยสิ่งทดลองที่มีค่า $\bullet ret$ มากที่สุด แสดงความเป็นของแข็งยึดหยุ่นน้อยที่สุด คือสิ่งทดลองที่ 12 และสิ่งทดลองที่มีค่า $\bullet ret$ น้อยที่สุด แสดงความเป็นของแข็งยึดหยุ่นมากที่สุด คือ สิ่งทดลองที่ 8 ซึ่งคล้ายตามค่า parameters อื่นๆ เมื่อนำข้อมูลที่ได้ไปหาสมการความสัมพันธ์ระหว่างค่า $\bullet ret$ และปัจจัยต่างๆ ที่ทำการศึกษาได้สมการแสดงความสัมพันธ์ ดังสมการ (4) ใน Table 3 พบว่า ปัจจัยที่มีผลต่อค่า $\bullet ret$ ได้แก่ ปริมาณเนื้อลำไย น้ำตาลผสม คาร์บาราจีแนน และโลคส์ต์บีนกัม โดยปริมาณเนื้อลำไยและน้ำตาลผสมที่เพิ่มขึ้นส่งผลให้ค่า $\bullet ret$ เพิ่มขึ้น ส่วนคาร์บาราจีแนนและโลคส์ต์บีนกัมที่เพิ่มขึ้นส่งผลให้ค่า $\bullet ret$ มีค่าลดลง

สรุป

การศึกษาสมบัติทางวิศวเคมีอิเล็กทริก โดยทดสอบการคีบ พบว่าเยลลี่ลำไยทั้ง 12 สิ่งทดลองมีลักษณะแบบจำลองทางวิสโคริอิเล็กทริกเป็น 4 องค์ประกอบ ซึ่งประกอบด้วยแบบจำลองโวค-เคลวิน 1 หน่วย ต่ออนุกรมกับแบบจำลองแมกซ์เวลล์ 1 หน่วย และพบว่า ค่าอิเล็กทริกโมดูลัส (E_0) ค่าความหนืด (μ) มีค่าเพิ่มขึ้นตามปริมาณคาร์บาราจีแนน และโลคส์ต์บีนกัมที่เพิ่มขึ้น ในขณะที่ค่าการผิดรูปอย่าง

ถาวร (J_{pd}) และเวลาหน่วง (retardation time) มีค่าลดลงตามปริมาณคาร์บาราจีแนนและโลคส์ต์บีนกัมที่เพิ่มขึ้น นอกจากนั้นยังพบว่า เยลลี่ลำไยสิ่งทดลองที่ 8 ซึ่งมีปริมาณน้ำตาลต่ำ แต่มีปริมาณไฮดรอกออลอยด์สูงจะมีความยึดหยุ่นสูงสุด ในขณะที่สิ่งทดลองที่ 12 ซึ่งมีปริมาณน้ำตาลสูงแต่มีปริมาณไฮดรอกออลอยด์ต่ำ จะมีความยึดหยุ่นและความขันหนืดต่ำสุด

กิตติกรรมประกาศ

คณบุญวิจัยขอขอบคุณ มหาวิทยาลัยเชียงใหม่ สถาบันวิจัยและพัฒนาวิทยาศาสตร์และเทคโนโลยีและบันทึก
วิทยาลัย มหาวิทยาลัยเชียงใหม่ ที่ให้ทุนสนับสนุนงานวิจัยนี้

เอกสารอ้างอิง

มนัส แซ่ด่าน 2538. รีโอลายีเบื้องต้น. สำนักพิมพ์ฟอร์เพช กรุงเทพมหานคร. 1-27 หน้า.

สุวรรณा สุภิมาส 2543. เทคโนโลยีการผลิตลูกภาคและซอกไกแล็ต.

จุฬาลงกรณ์มหาวิทยาลัย กรุงเทพมหานคร.

อรอนงค์ กิตติพงษ์พัฒนา 2545. คาราจีแนน : ของขวัญจากทะเล. คณะเภสัชศาสตร์

มหาวิทยาลัยเชียงใหม่ เชียงใหม่. 43-79 หน้า.

อรุณี อภิชาติสร้างกฎ และ อุทัยวรรณ ฉัตรธง. 2546. การจำลองแบบทางวิสโคอิลาสติกของมะม่วงแก้วหวาน.

อาหาร 33(4) : 292-298.

อุทัยวรรณ ฉัตรธง และ อรุณี อภิชาติสร้างกฎ. 2546. แบบจำลองทางวิสโคอิลาสติกของมะม่วงหวาน.

วิทยาศาสตร์เกษตร. 34 : กรกฎาคม-ธันวาคม.

Bayarri, S., Duran, L. and Costell, E. 2004. Influence of sweeteners on the viscoelasticity of hydrocolloids gelled systems. *Food Hydrocolloids*. 18 : 611-619.

Chatpong U., Apichartsrangkoon, A., and Bell, A.E. 2007. Effects of hydrocolloids addition and high pressure processing on rheological properties and microstructure of a commercial ostrich meat product "Yor" (Thai sausage). *Meat Science*. 76(3) : 548-554.

Fiszman, S. M. and Duran, L. 1992. Effects of fruit pulp and sucrose on the compression response of different polysaccharides gels systems. *Carbohydrate Polymer*. 17 : 11-17.

Jackman, R. L. and Stanley, D. W. 1995. Creep behavior of tomato pericarp tissue as influenced by ambient temperature ripening and chilled storage. *Texture Studies*. 26 : 537-552.

Maier, H., Anderson, M., Harl, C., Magnuson, K. and Whistler, R.L. 1993. Guar, Locust Bean, Tara and Fenugreek gums. In *Industrial gums, polysaccharides and their derivates*. San Diego, Academic Press. 181-226 p.

Ojijo, N. K. O., Kesselman, E., Eichler, S., Shuster, V., Neeman, I. and Eger, S. 2004. Changes in microstructure, thermal and rheological properties of olive oil / monoglyceride networks during storage. *Food Research International*. 37 : 385-393.

Pilnik, W. and Rombouts, F. M. 1985. Polysaccharides and food processing. *Carbohydrate Research*. 142 : 93-105.

Supavittpatana, T., Apichartsrangkoon, A. 2007. Combination effects of ultra-high pressure and temperature on physical and thermal properties of ostrich meat sausage (yor). *Meat Science*. 76(3) : 555-560.

Ward, I. M. and Hardley, D. W. 1995. *An Introduction to the mechanical properties of solid polymers*. New York. John Wiley and Sons. Inc.

Whittaker, L. E., Al-Ruqaie, I. M., Kasapis, S. and Richardson, R. K. 1997.

Development of composite structures in gellan polysaccharide/sugar system. *Carbohydrate Polymer*. 33 : 39-46.

